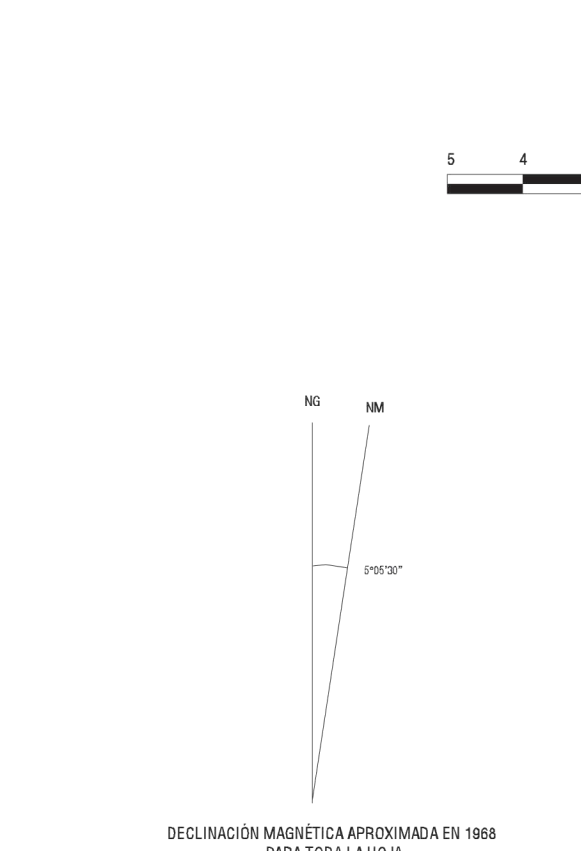
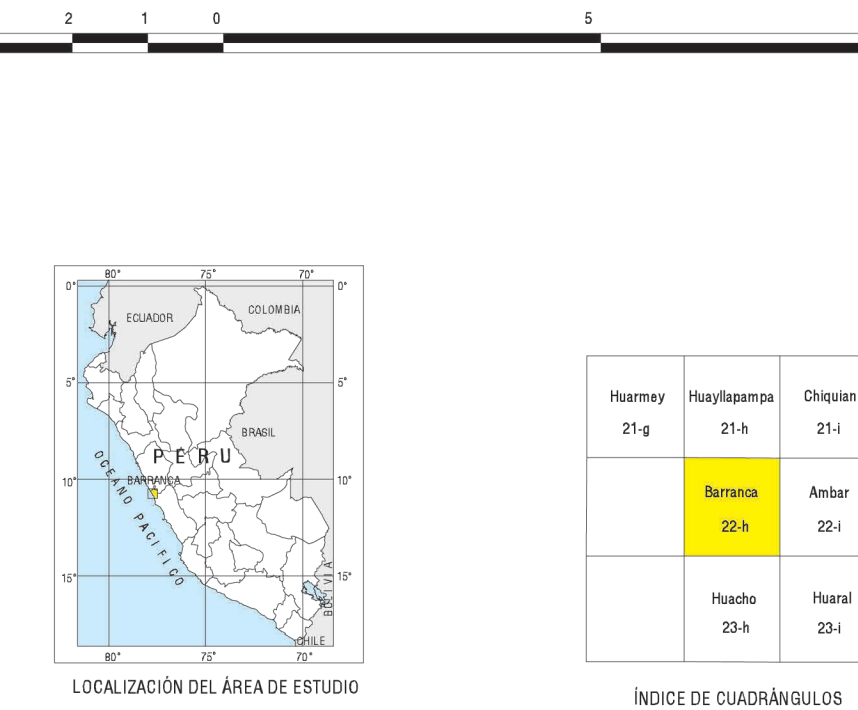


SISTEMA	SERIE	FORM. O GRUPO	SED. y VOLC.
CUATERNARIO	Depósitos Aluviales	Q-al	Q-al
		Q-m	Q-m
	Depósitos Eólicos	Q-e1	Q-e1
		Q-e2	Q-e2
Depósitos Mórrenicos	Q-mo	Q-mo	
TERCIARIO	Inferior	Volcánico Calipuy	KTI-vca
	Superior	Okean	
CRETACEO	Superior		
	Inferior	Fm. Casma	Ki-c

ROCAS INTRUSIVAS DEL CRETACEO SUPERIOR TERCARIO INFERIOR EN ORDEN APROXIMADA DE SUS EDADES RELATIVAS	
KTI-czo	Cuarzo
KTI-p	Pórfido Cuarzifero
KTI-a-co	Adamelita de Coy Coy
KTI-a-pa	Adamelita de Pativilca
KTI-a-sja	Adamelita de San Jerónimo (Fajas de Anishuasi)
KTI-a-sj	Adamelita de San Jerónimo (Fajas Venales)
KTI-a-t	Adamelita de Tumaray
KTI-a-p	Adamelita de Puscac
KTI-gd-a	Granodiorita de Aymaca
KTI-t-g	Tonalita de Gorgor
KTI-t-am	Tonalita de Ambar
KTI-t-cm	Tonalita
KTI-gd-cm	Granodiorita
KTI-t-lm	Tonalita
KTI-t-pu	Tonalita
KTI-dl-pu	Diorita
KTI-t-sf	Tonalita
KTI-tl-p	Tonalita Diorita
KTI-dia	Meladiorita
KTI-dib	Diorita Básica
KTI-dic	Diorita Biotítica



REPÚBLICA DEL PERÚ
 MINISTERIO DE ENERGÍA Y MINAS
 DIRECCIÓN GENERAL DE MINERÍA
 SERVICIO DE GEOLOGÍA Y MINERÍA
MAPA GEOLÓGICO DEL CUADRÁNGULO DE BARRANCA
 DEPARTAMENTOS DE LIMA Y ANCASH
 Por: E. J. COBBING Y JULIO GARAYAR SANEZ
 ESCALA 1 : 100 000
 VERSIÓN DIGITAL ACTUALIZADA 1997



SÍMBOLOS	
	Rumbo y buzamientos de capas
	Buzamiento de ángulo suave fotointerpretación 0° - 20°
	Buzamiento de ángulo fuerte fotointerpretación 40° - 60°
	Capa horizontal
	Capa vertical
	Eje de anticlinal
	Eje de anticlinal probable
	Eje de anticlinal probable
	Eje de anticlinal probable
	Contacto conocido
	Contacto probable
	Dique
	Mina
	Falla normal
	Falla inversa
	Línea de Perfil
	Carretera Panamericana
	Carretera asfaltada
	Carretera afirmada